

日本国土開発團 正会員 竹下治之

日本国土開発團 正会員 浅沼潔

日本国土開発團 正会員 ○横田秀彦

1. まえがき

近年、コンクリート構造物はますます大型化の傾向にあり、マッシブなコンクリート構造物における温度応力に伴うひびわれの発生が問題となってきた。これらのマスコンクリート構造物の温度応力解析においては、適確なマスコンクリートの物性値把握が重要な問題となってくる。しかし、この物性値に関して定性的、かつ定量的に取り扱った研究は少ないよう見受けられる。本研究では、マスコンクリートの硬化過程における物性を明確にすることを目的として、材料および配合を変え検討した。

2. 実験概要

$10^4 \times 20^4 \text{ mm}^3$ 供試体を使用し、材令 1, 2, 3, 5, 7, 14, 28 日で圧縮および引張試験を実施し、圧縮強度 f_{ck} 、割裂強度 f_{tk} 、弾性係数 E_0 を測定した。使用材料は、セメントが普通ポルトランドセメント、骨材が 2 種、鹿島産川砂利、川砂（K シリーズ：F M は 6.54, 2.67）、および津久井産碎石、碎砂（T シリーズ：F M は 6.48, 3.13）である。配合は表-1 に示す各 3 種、計 6 種で、目標強度は加減 250, 350, 450 MPa とした。岡田によれば、マスコンクリートの物性値は積算温度をパラメータとして、各種の温度履歴下におけるコンクリート物性値を整理できることが示されているので、実験では、マスコンクリートの養生として水分の移動を防止する目的で、ビニールシートで供試体を覆い、 30°C 、 90% RH 恒温恒湿室で気中養生を行った。同時に、 20°C の水槽で水中養生を行って、マスコンクリートの物性値を比較検討した。

3. 実験結果

圧縮強度 f_{ck} と積算温度 M の関係を図-1 に示す。各配合に対して、 $M \leq 10^4 \text{ °C}\cdot\text{hr}$ の範囲においては、両者の間にほぼ直線関係が認められる。但し、水中養生と気中養生では、強度発現の程度は異なる。いま、各配合の強度を図中の細線のように直線近似し、その近似式を $f_{ck} = A \log M - B$ とすれば、それらのパラメータ A, B は図-2 に示すとおりである。従って、 $M \leq 10^4 \text{ °C}\cdot\text{hr}$ に対して % をパラメータとして、圧縮強度は図-1 の図中の式のように与えられる。このような関係は、T シリーズにも認められ、近似式で表示できる。このように、ある骨材に対しては、圧縮強度は % をパラメータとして一般形 $f_{ck} = A \log M - B$ で近似されるものと推定される。且つ、定数 A, B は、その骨材に固有のものと考えられる。

水中養生を基準にした場合の気中養生の圧縮強度変化率 β を示すと、図-3 のようである。これらの各材令ごとの変化率を図中の細線のように近似し、一般形を $\beta = a \log M - b$ とするも、定数 a, b は図中の表のようになり、これらの定数と % の間にはほぼ直線関係が認められる。よって、気中養生による圧縮強度低下率は、図中の式により与えられる。図にみられるように、圧縮強度は $M \leq 1500 \text{ °C}\cdot\text{hr}$ においては、水中養生の場合と比較して、気中養生の方が増加し、

配合 No.	使用 骨材 (cm)	セメント (kg)	水 (kg)	砂 (kg)	石 (kg)	単位量		単位量 (kg/m ³)
						w/c (%)	s/a (%)	
K ₁	W ₁	41.0	1.45	22.5	79.3	113.7	5.63	3.5A
K ₂	W ₂	40.3	1.46	29.6	75.7	114.0	4.70	3.3A
K ₃	W ₃	40.4	39.7	34.2	73.6	111.6	0.853	3.5A
T ₁	石	65.0	46.3	167	260	850	99.0	6.0
T ₂	+	50.6	44.3	163	322	779	101.0	3.85
	砂					41.5	42.3	1.67
						402	750	1002
								1.005
								3.0A

表-1. 示方配合

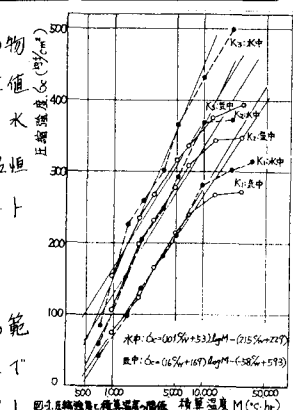
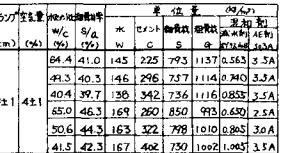


図-1. 圧縮強度と積算温度の関係

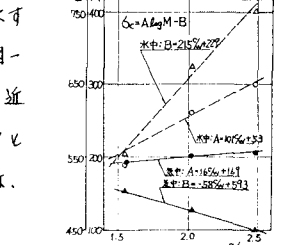


図-2. 各%における傾斜ABの値

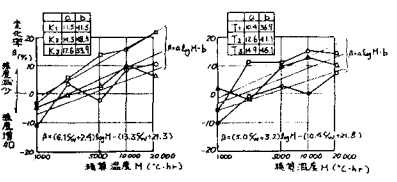


図-3. 圧縮強度変化率と積算温度の関係

遂に、Mがそれ以上にならし水中養生の方が減少する。その減少率は富配合のコンクリートほど大きくなることが分かる。この実験の範囲では、水中標準養生の材令28日において、養生の相違による強度低下率は約5~20%であった。この強度低下率は、骨材あるいは温度履歴により異なるものと考えられるが、ここに示した配合ごとの低下率は一応の目安にならるものと思われる。

図-4にKシリーズの割裂強度と積算温度の関係を示す。両者の間にモルヒン $M = 10^4 \text{ °C} \cdot \text{hr}$ において、ほぼ直線関係がみられる。また、圧縮強度の場合も同様、養生の相違により、若干の強度の差がみられる。Kシリーズの脆度係数と圧縮強度、および割裂強度と圧縮強度の関係を示すのが図-5および図-6に示す。いま、図-5に示されるように、脆度係数と圧縮強度の間に直線関係を仮定して、両者間の関係を求めると、割裂強度は近似的に、次式により与えられる。

$$K\text{シリーズ: } G_{st} = \frac{1}{(0.007 + 8/G_c)}$$

$$T\text{シリーズ: } G_{st} = \frac{1}{(0.005 + 8/G_c)}$$

この関係を図-6に示すが、上式は比較的よい近似を与えている。また、同図には既往のデータも示すが、これらの関係式は、いずれも低くめの強度を与えている。このような傾向はTシリーズにおいても同様であり、このような結果が得られたことは注目される。また、養生の相違に基づく脆度係数の差はほんのりとあるため、水中養生の割裂強度は、上式の圧縮強度に養生の差に基づく強度変化率を導入することにより求めることができる。

図-7にKシリーズの弾性係数と積算温度の関係を示す。弾性係数の増加は若材令に特に顕著であり、材令1日で28日の約1.5倍にする。また、弾性係数は圧縮強度の発現と同様、水中養生と水中養生を比較すると、ごく若材令で前者が大きくななるが、一般的には、後者の方が大きくなれる。弾性係数の関係の一例を図-8に示す。KおよびTシリーズともに、 $E_c = C \cdot P^{0.5} G_c^{0.5}$ (C: 定数)と仮定し近似式を求めると、それが此次のようになる。

$$K\text{シリーズ: } E_c = 4900 P^{0.5} G_c^{0.5}$$

$$T\text{シリーズ: } E_c = 3790 P^{0.5} G_c^{0.5}$$

このように若材令においても既往の同種の関係式に整理されると、これらの近似式を既往の関係式と比較すると、Kシリーズではほぼ同様であるが、Tシリーズでは大きく異なる。これは主に骨材の影響と考えられるが、このような実験結果からも、弾性係数の推定にあたっては注意を要する。

4.まとめ

以上、マスコンクリートの硬化過程における物性を明確にする目的で、材料および配合を変化させることで水中養生と比較して検討した。その結果、水令の移動の少ないマスコンクリートの物性値は水中標準養生されたコンクリートの物性値に、水中養生による圧縮強度の強度変化率を導入することにより、ほぼ推定可能なことが分かった。ここに述べた特性値は、圧縮強度、割裂強度、弾性係数であるが、その他、直角引張強度、引張クリアランスについても検討を行ったおり、期を新めて発表する予定である。

参考文献：岡田他「マスコンクリートの基本的特性に関する一考察」、セメント技術年報、34号、昭55。

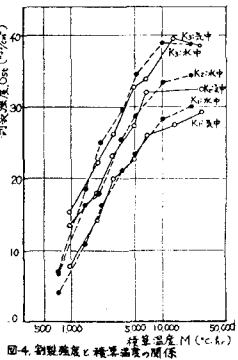


図-4. 割裂強度と積算温度の関係

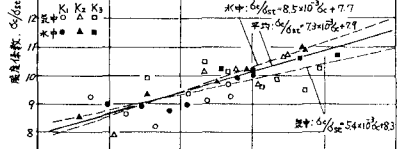


図-5. 脆度係数と圧縮強度の関係

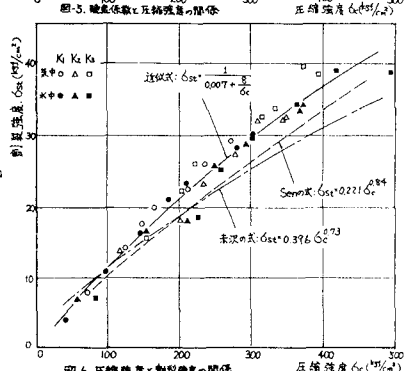


図-6. 圧縮強度と割裂強度の関係

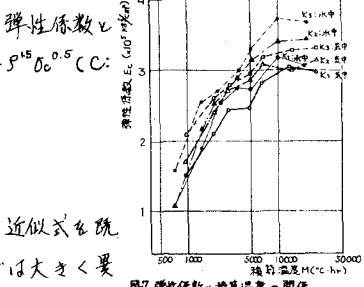


図-7. 弹性係数と積算温度の関係

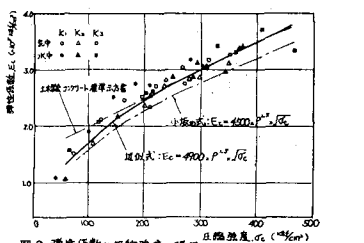


図-8. 弹性係数と圧縮強度の関係